

**Wydział Elektroniki i Technik Informacyjnych
Politechnika Warszawska**

**Projektowanie układów sterowania
(projekt grupowy)**

Sprawozdanie z projektu nr 2, zadanie nr 7

Sobolewski Konrad, Różański Antoni, Giełdowski Daniel

Warszawa, 2017

Spis treści

1. Opis obiektu	2
2. Zadanie 1: Punkt pracy	3
3. Zadanie 2: Odpowiedzi skokowe	4
3.1. Tor U	4
3.2. Charakterystyka statyczna toru U	5
3.3. Właściwości dynamiczne toru U	6
3.4. Tor Z	7
3.5. Charakterystyka statyczna toru Z	8
3.6. Właściwości dynamiczne toru Z	9

1. Opis obiektu

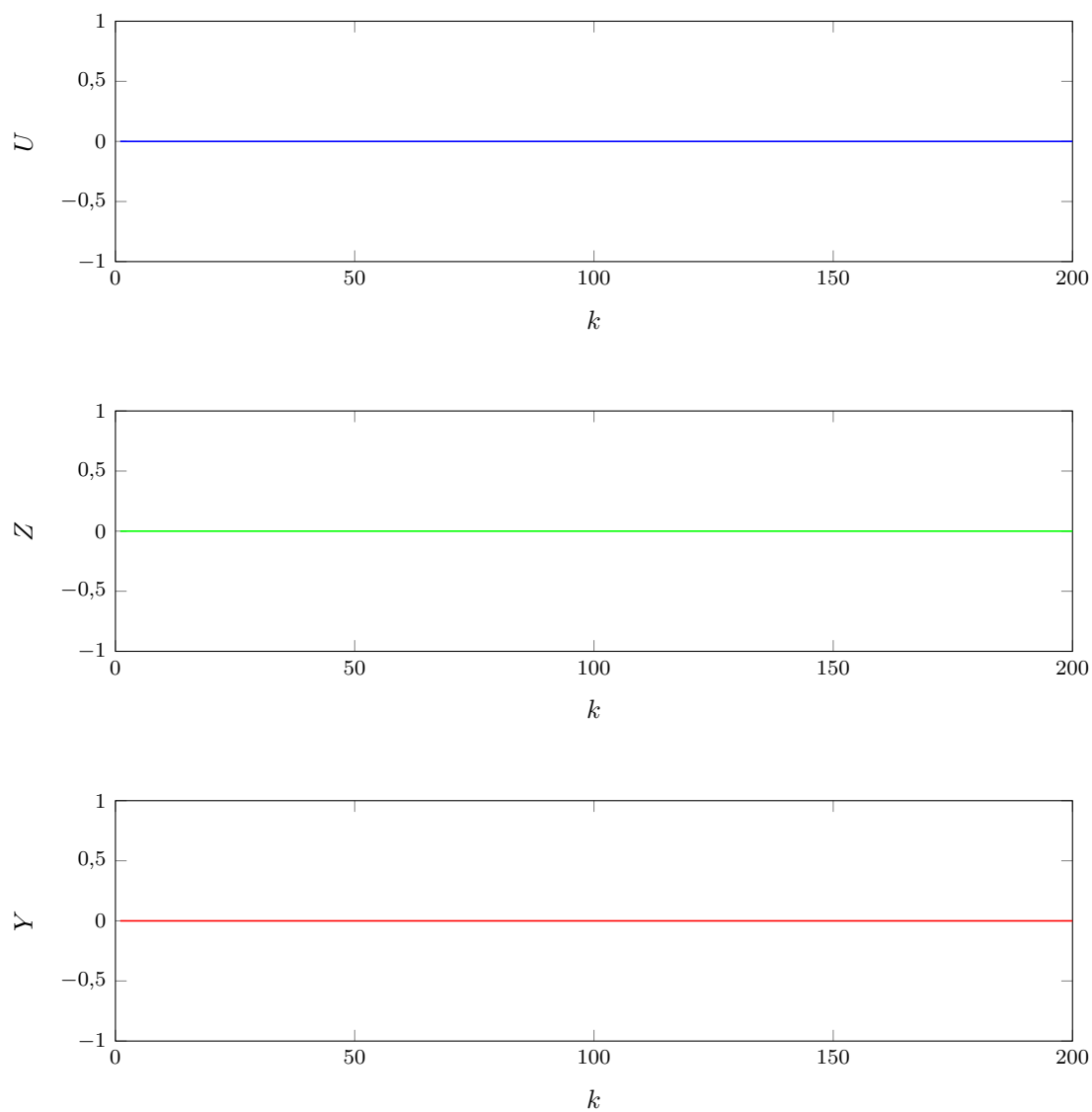
Obiekt używany w projekcie opisany jest daną przez prowadzącego funkcją wywoływaną poleceniem:

$$Y(k) = \textit{symulacja_obektu7y}(U(k-4), U(k-5), Z(k-1), Z(K-2), Y(k-1), Y(k-2)) \quad (1.1)$$

gdzie k jest aktualną chwilą symulacji sygnału próbkowanego. Wartość sygnałów w punkcie pracy (w stanie ustalonym) mają wartość $u = y = z = 0$. Okres próbkowania obiektu wynosi $T_p = 0,5s$.

2. Zadanie 1: Punkt pracy

Pierwszym poleceniem było zweryfikowanie poprawności punktu pracy obiektu. Udało się to osiągnąć za pomocą prostego sprawdzenia, przy jakiej wartości wyjścia stabilizuje się obiekt przy stałym sterowaniu oraz stałym zakłóceniu, równym ich wartościom w punkcie pracy ($U_{pp} = 0$, $Z_{pp} = 0$). Eksperyment potwierdził wcześniej podaną wartość wyjścia ($Y_{pp} = 0$), a jego przebieg obrazuje wykres 2.1.

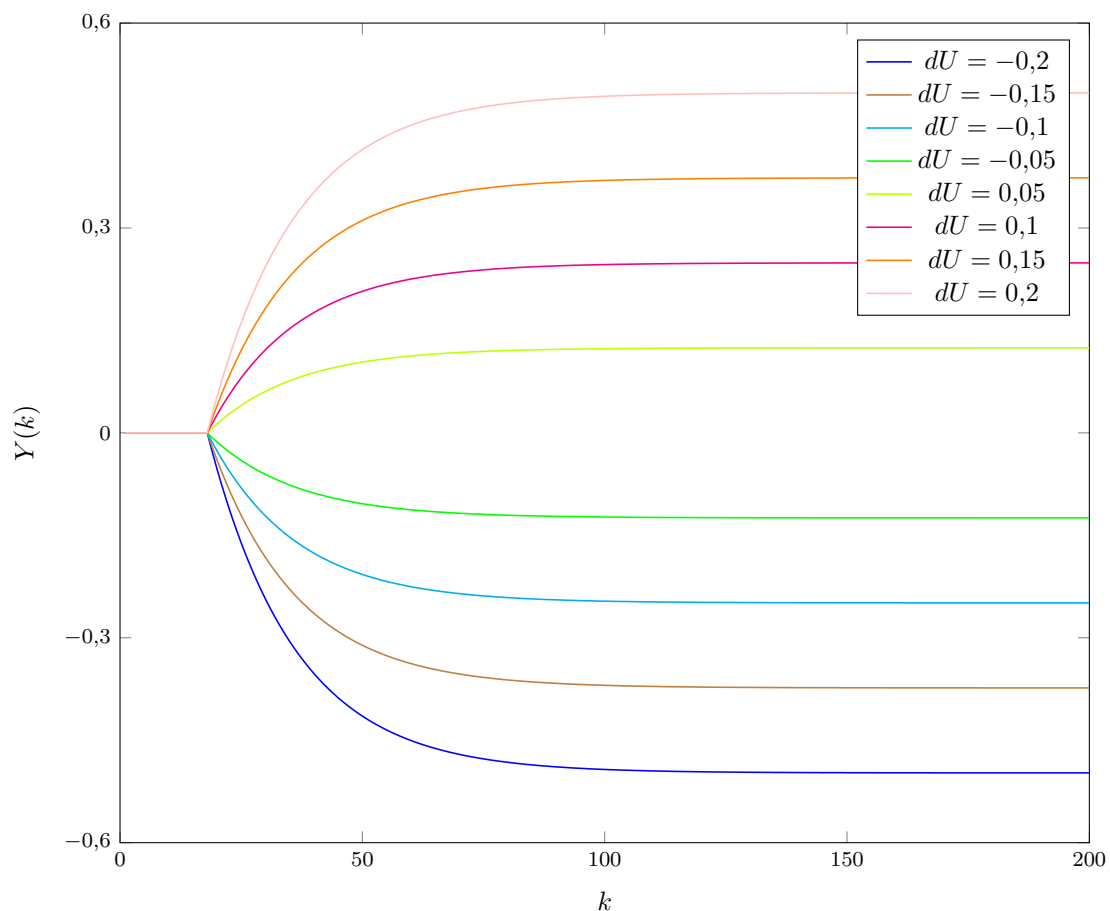


Rys. 2.1. Zachowanie obiektu w punkcie pracy

3. Zadanie 2: Odpowiedzi skokowe

3.1. Tor U

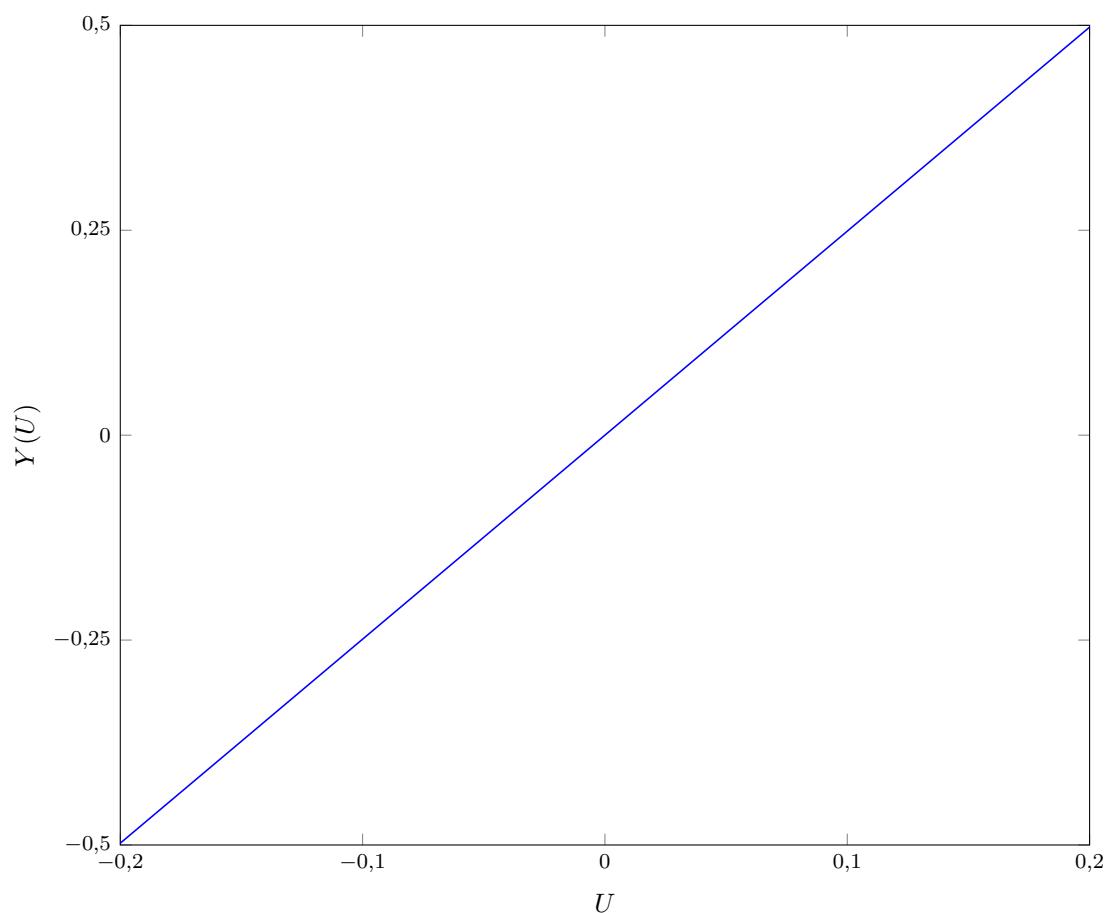
W tej części projektu badane było zachowanie odpowiedzi skokowej dla różnych wartości skoku sygnału sterującego. Eksperyment zakładał, iż na początku obiekt będzie w punkcie pracy ($Y = 0,0$, $U = 0,0$, $Z = 0,0$), a następnie, w chwili $k = 15$, wykonany zostanie skok do zaplanowanej wcześniej wartości sterowania. Wartość sterowania po skoku dla zamieszczonych wyników mieściła się w zakresie ograniczeń. Zakłócenie w czasie trwania eksperymentu dla tego toru miało stałą wartość $Z = 0$. Wyniki eksperymentu zostały zobrazowane na wykresie 3.1.



Rys. 3.1. Wykres $Y(k)$ dla różnych skoków sterowania z $U_{pp} = 0$ o dU

3.2. Charakterystyka statyczna toru U

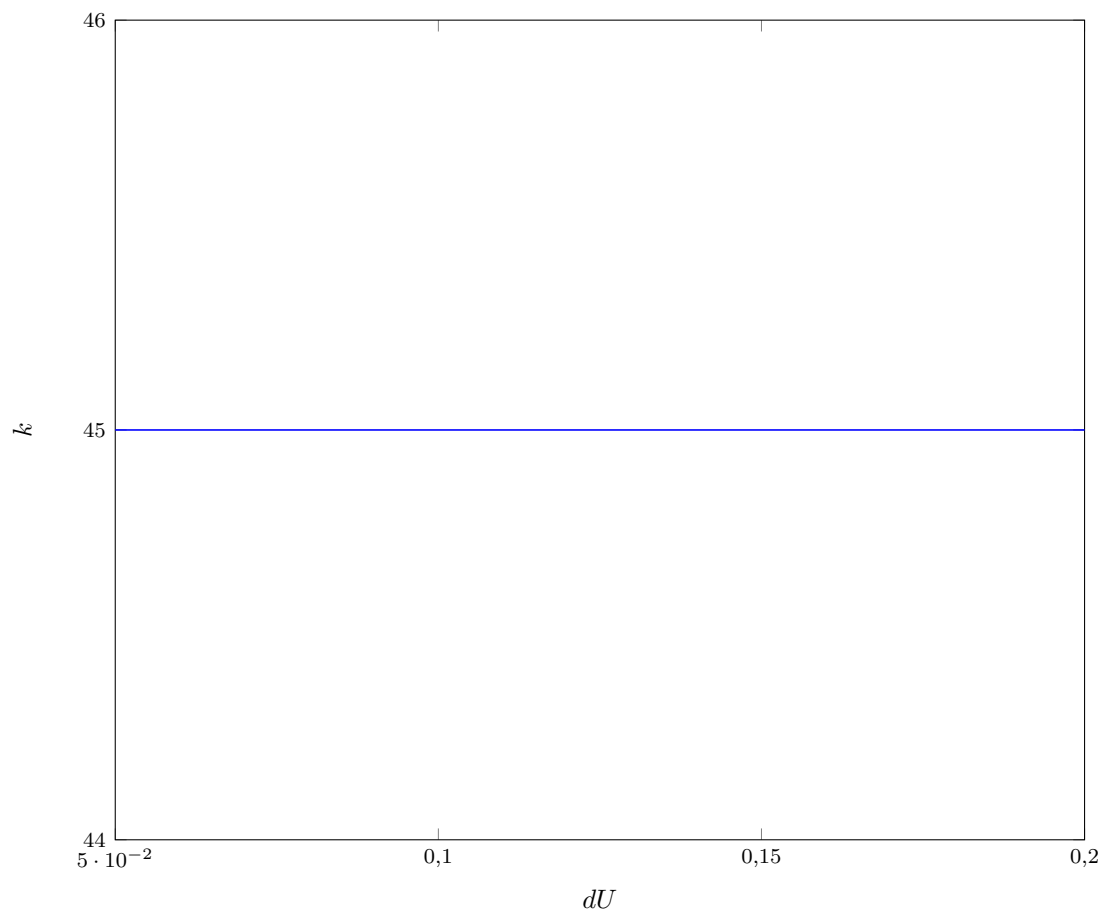
Następnie wyznaczona została charakterystyka statyczna toru U obiektu. Znalaziona została poprzez sprawdzenie, przy jakiej wartości wyjścia obiekt stabilizuje się dla danej wartości sterowania. Na podstawie tego sporządzony został wykres. Wyniki zostały zamieszczone na wykresie 3.2. Liniowość charakterystyki statycznej można było także stwierdzić na podstawie wykresu 3.1, gdyż wyraźnie widać na nim, że odległości między końcową wartością $Y(k)$ dla kolejnych skoków są (na tyle na ile można to ocenić wizualnie) identyczne. Otrzymana charakterystyka jest liniowa. Wzmocnienie statyczne jest równe wartości końcowej znormalizowanej odpowiedzi skokowej i ma wartość 2,4892.



Rys. 3.2. Charakterystyka statyczna $Y(U)$

3.3. Właściwości dynamiczne toru U

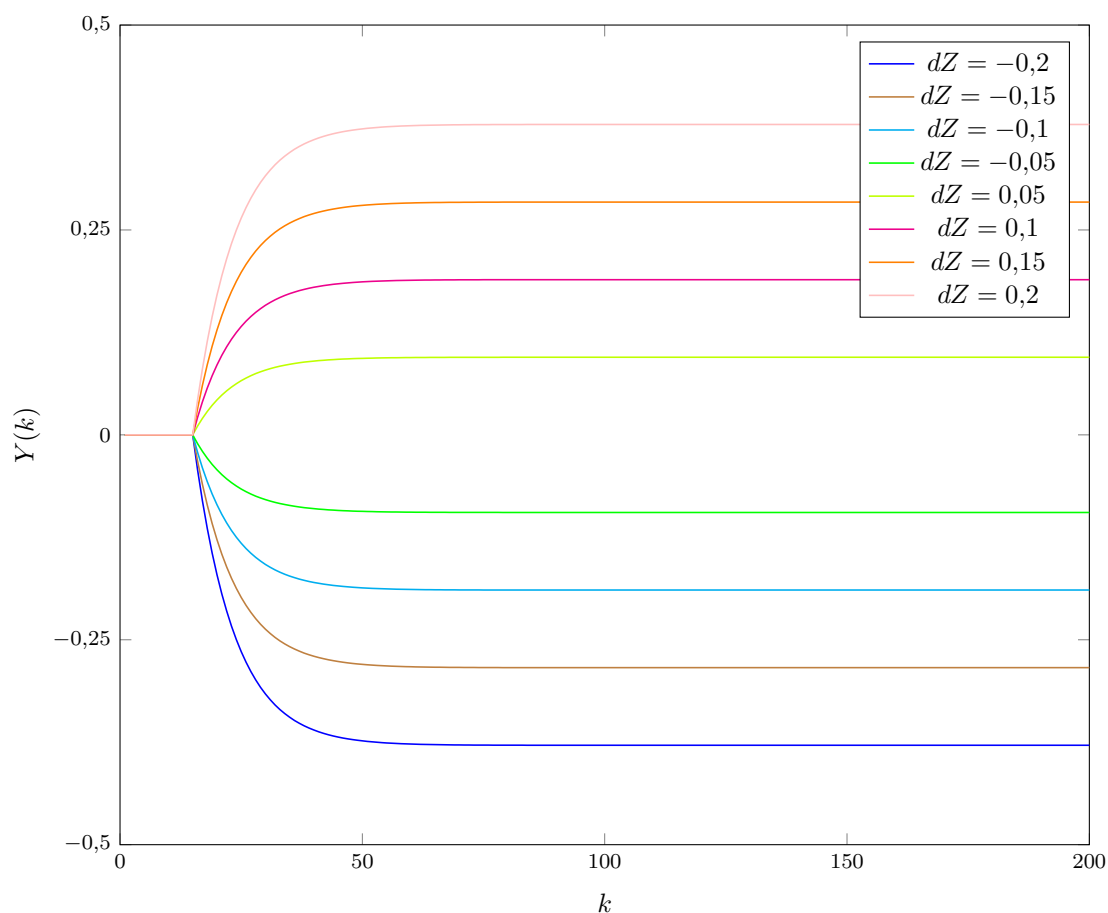
Charakterystyka dynamiczna toru U obiektu została wyznaczona zależnie od wielkości skoku sterowania. Skoki sterowania wykonywane były z punktu pracy w obrębie ograniczeń. Zmierzone zostało, po ilu krokach od momentu skoku różnica wartości wyjścia obiektu i Y_{pp} wynosiła powyżej 90% całkowitego skoku wartości $Y(k)$ wyjścia obiektu. Z otrzymanych danych wynika, że charakterystyka dynamiczna jest liniowa, dla każdego skoku sterowania otrzymana ilość kroków była identyczna i równa 45. Wyniki zostały zamieszczone na wykresie 3.3.



Rys. 3.3. Wykres ilości kroków od momentu skoku sterowania po ilu różnica aktualnej i początkowej wartości $Y(k)$ staje się większa niż 90% różnicy końcowej i początkowej wartości $Y(k)$

3.4. Tor Z

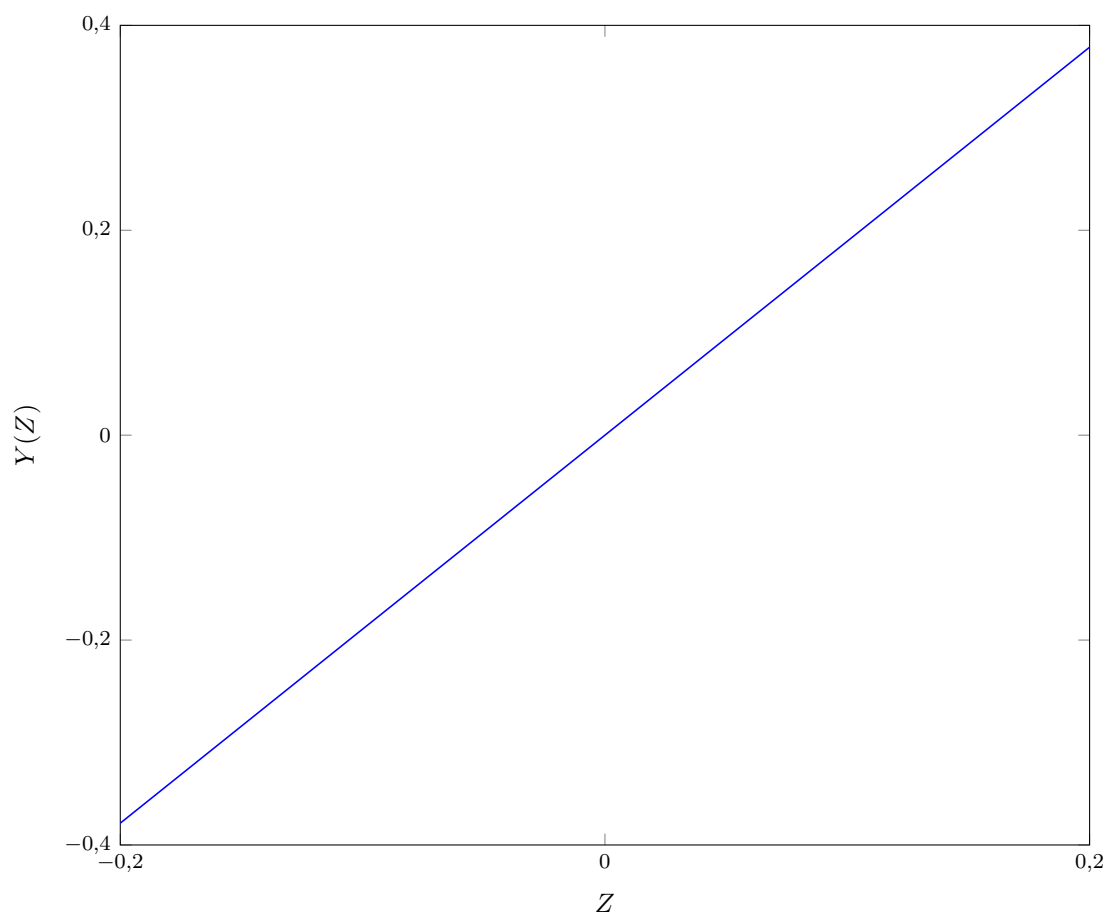
W tej części projektu badane było zachowanie odpowiedzi skokowej dla różnych wartości skoku sygnału zakłóceń. Eksperyment zakładał, iż na początku obiekt będzie w punkcie pracy ($Y = 0,0$, $U = 0,0$, $Z = 0,0$), a następnie, w chwili $k = 15$ wykonany zostanie skok do zaplanowanej wcześniej wartości zakłócenia. Wartość zakłócenia po skoku dla zamieszczonych wyników mieściła się w zakresie ograniczeń. Sterowanie w czasie trwania eksperymentu miało stałą wartość $U = 0$. Wyniki eksperymentu zostały zobrazowane na wykresie 3.4.



Rys. 3.4. Wykres $Y(k)$ dla różnych skoków sterowania z $Z_{pp} = 0$ o dZ

3.5. Charakterystyka statyczna toru Z

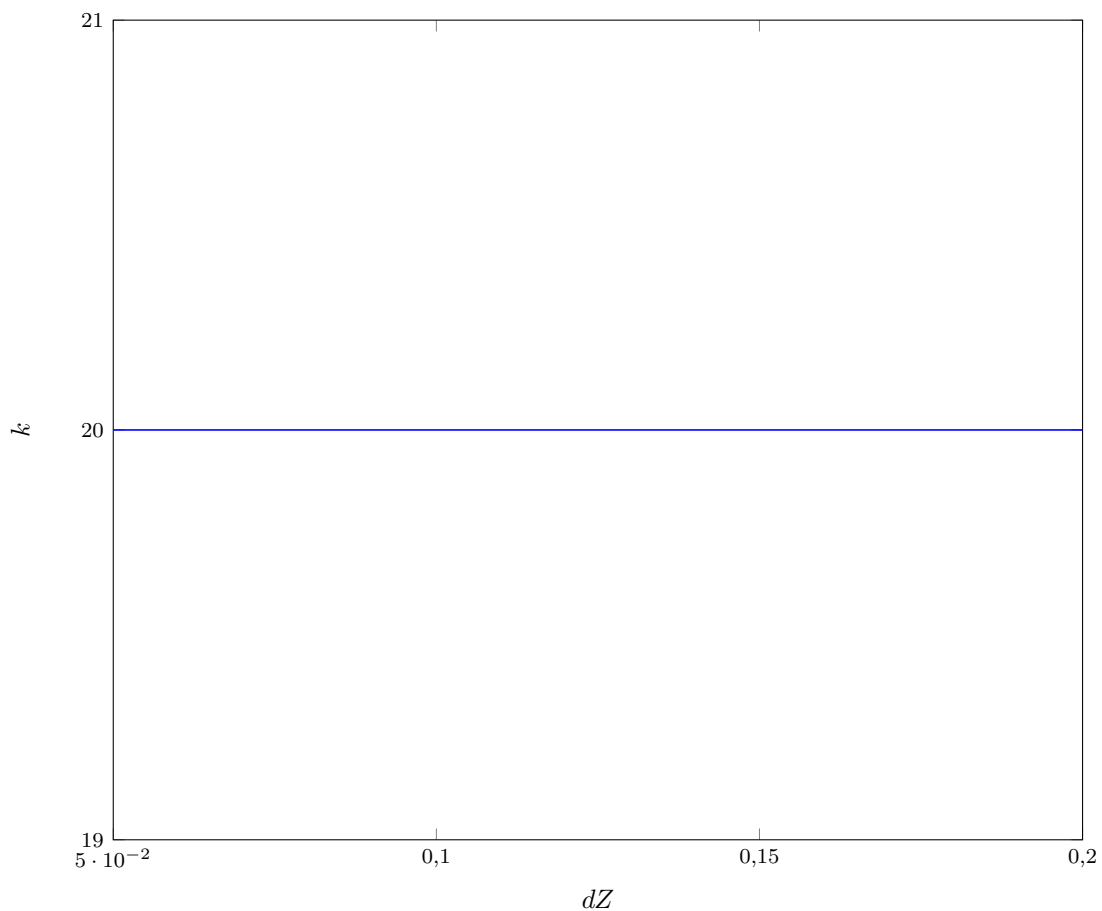
Następnie wyznaczona została charakterystyka statyczna toru Z obiektu. Znaleziona została poprzez sprawdzenie przy jakiej wartości wyjścia obiekt stabilizuje się dla danej wartości zakłócenia. Na podstawie tego sporządzony został wykres. Wyniki zostały zamieszczone na wykresie 3.5. Liniowość charakterystyki statycznej można było także stwierdzić na podstawie wykresu 3.4, gdyż wyraźnie widać na nim, że odległości między końcową wartością $Y(k)$ dla kolejnych skoków są (na tyle na ile można to ocenić wizualnie) identyczne. Otrzymana charakterystyka jest liniowa. Wzmocnienie statyczne jest równe wartości końcowej znormalizowanej odpowiedzi skokowej i ma wartość 1,8933.



Rys. 3.5. Charakterystyka statyczna $Y(Z)$

3.6. Właściwości dynamiczne toru Z

Charakterystyka dynamiczna toru Z obiektu została wyznaczona zależnie od wielkości skoku sterowania. Skoki sterowania wykonywane były z punktu pracy w obrębie ograniczeń. Zmierzone zostało, po ilu krokach od momentu skoku różnica wartości wyjścia obiektu i Y_{pp} wynosiła powyżej 90% całkowitego skoku wartości $Y(k)$ wyjścia obiektu. Z otrzymanych danych wynika, że charakterystyka dynamiczna jest liniowa, dla każdego skoku sterowania otrzymana ilość kroków była identyczna i równa 20. Wyniki zostały zamieszczone na wykresie 3.6.



Rys. 3.6. Wykres ilości kroków od momentu skoku zakłócenia, po ilu różnica aktualnej i początkowej wartości $Y(k)$ staje się większa niż 90% różnicy końcowej i początkowej wartości $Y(k)$